

# Comportements viscoélastiques, applications aux bétons

Journée utilisateurs MFront 2017

Julien SANAHUJA   Benoît BARY   Jean-Luc ADIA

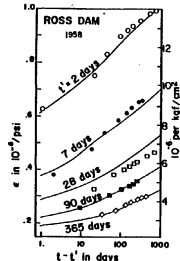
EDF lab MMC, CEA LECBA, UPE

30 mai 2017

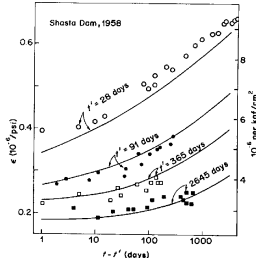


- enceinte : béton précontraint
- capacité de confinement dépend de l'état mécanique
- béton : déformations différées, retraits, fluages
- câbles de précontrainte : tension diminue par fluage béton

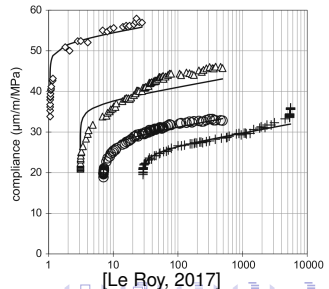
## Béton: essais de fluage propre



[Bažant, 1975]



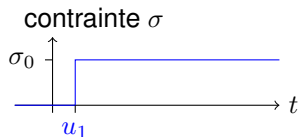
[Bažant, 1988]



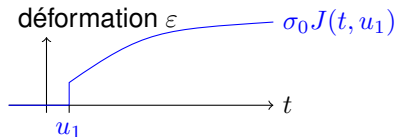
[Le Roy, 2017]

# Comportement viscoélastique linéaire vieillissant

**Viscoélasticité:** fonction de complaisance  $J(t, u) \neq J(t - u)$

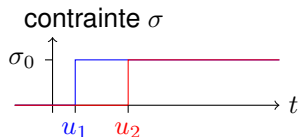


$\Rightarrow$

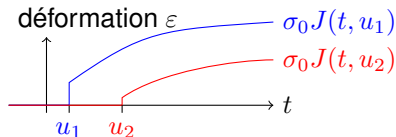


# Comportement viscoélastique linéaire vieillissant

**Viscoélasticité:** fonction de complaisance  $J(t, u) \neq J(t - u)$

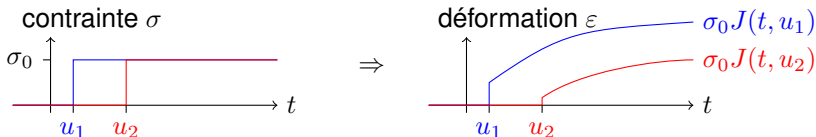


$\Rightarrow$



# Comportement viscoélastique linéaire vieillissant

**Viscoélasticité:** fonction de complaisance  $J(t, u) \neq J(t - u)$



Matériaux Boltzmanniens : principe de superposition (échelons  $d\sigma$ )

**Loi de comportement** définie par le tenseur de complaisance  $\mathbb{J}(t, u)$

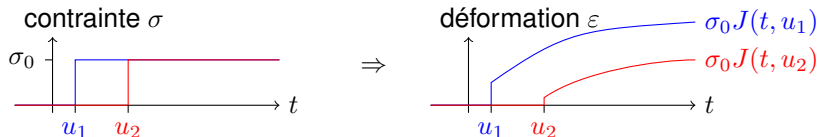
$$\varepsilon(t) = \int_{u=-\infty}^t \mathbb{J}(t, u) : \dot{\sigma}(u) du$$

ou par le tenseur de relaxation  $\mathbb{R}(t, u)$

$$\sigma(t) = \int_{u=-\infty}^t \mathbb{R}(t, u) : \dot{\varepsilon}(u) du$$

# Comportement viscoélastique linéaire vieillissant

**Viscoélasticité:** fonction de complaisance  $J(t, u) \neq J(t - u)$



Matériaux Boltzmanniens : principe de superposition (échelons  $d\sigma$ )

**Loi de comportement** définie par le tenseur de complaisance  $\mathbb{J}(t, u)$

$$\varepsilon(t) = \int_{u=-\infty}^t \mathbb{J}(t, u) : \dot{\sigma}(u) du$$

ou par le tenseur de relaxation  $\mathbb{R}(t, u)$

$$\sigma(t) = \int_{u=-\infty}^t \mathbb{R}(t, u) : \dot{\varepsilon}(u) du$$

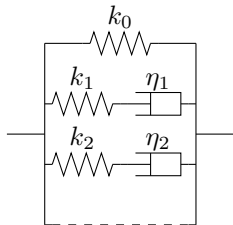
**Cas du comportement isotrope**

$$\mathbb{R}(t, u) = 3R_k(t, u)\mathbb{J} + 2R_\mu(t, u)\mathbb{K}$$

soit

$$\sigma(t) = \int_{u=-\infty}^t R_k(t, u) \text{tr} \dot{\varepsilon}(u) du \mathbf{1} + \int_{u=-\infty}^t 2R_\mu(t, u) : \dot{\varepsilon}^{dev}(u) du$$

# Un cas particulier intégrable, adapté pour FEM

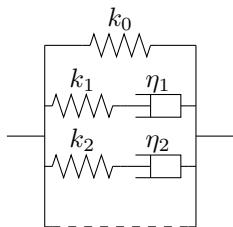


Cas non vieillissant : modèle de Maxwell généralisé

$$R(t - u) = \left( k_0 + \sum_{i=1}^n k_i e^{-\frac{t-u}{\tau_i}} \right) H(t - u)$$

avec  $\tau_i = \eta_i / k_i$

# Un cas particulier intégrable, adapté pour FEM



Cas non vieillissant : modèle de Maxwell généralisé

$$R(t-u) = \left( k_0 + \sum_{i=1}^n k_i e^{-\frac{t-u}{\tau_i}} \right) H(t-u)$$

avec  $\tau_i = \eta_i / k_i$

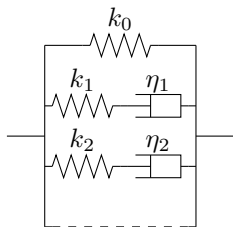
Extension au cas vieillissant

$$R(t, u) = \left( k_0(u) + \sum_{i=1}^n k_i(u) e^{-\frac{t-u}{\tau_i}} \right) H(t-u)$$

avec  $k_i(u)$  les « fonctions de vieillissement »



# Un cas particulier intégrable, adapté pour FEM



Cas non vieillissant : modèle de Maxwell généralisé

$$R(t-u) = \left( k_0 + \sum_{i=1}^n k_i e^{-\frac{t-u}{\tau_i}} \right) H(t-u)$$

avec  $\tau_i = \eta_i / k_i$

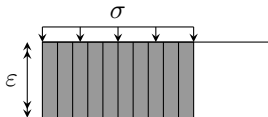
Extension au cas vieillissant

$$R(t, u) = \left( k_0(u) + \sum_{i=1}^n k_i(u) e^{-\frac{t-u}{\tau_i}} \right) H(t-u)$$

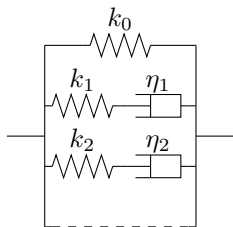
avec  $k_i(u)$  les « fonctions de vieillissement »

Interprétation physique : théorie de solidification de Bažant

[Bažant et al., JEM 115, 1989]



# Un cas particulier intégrable, adapté pour FEM



Cas non vieillissant : modèle de Maxwell généralisé

$$R(t-u) = \left( k_0 + \sum_{i=1}^n k_i e^{-\frac{t-u}{\tau_i}} \right) H(t-u)$$

avec  $\tau_i = \eta_i / k_i$

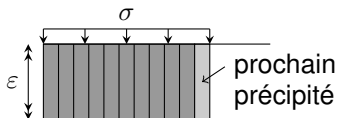
Extension au cas vieillissant

$$R(t, u) = \left( k_0(u) + \sum_{i=1}^n k_i(u) e^{-\frac{t-u}{\tau_i}} \right) H(t-u)$$

avec  $k_i(u)$  les « fonctions de vieillissement »

Interprétation physique : théorie de solidification de Bažant

[Bažant et al., JEM 115, 1989]



$$R(t, u) = f_{prec}(u) R_{nalv}(t-u)$$

# Méthode d'intégration : aperçu en 1D

Méthode proposée par Bažant pour la complaisance [Bažant, SMIRT, 1971]  
efficace et adaptée à des pas de temps de durée croissante

## Principe

$$\sigma(t) = \int_{u=-\infty}^t \left( k_0(u) + \sum_{i=1}^n k_i(u) e^{-\frac{t-u}{\tau_i}} \right) \dot{\varepsilon}(u) du$$

# Méthode d'intégration : aperçu en 1D

Méthode proposée par Bažant pour la complaisance [Bažant, SMIRT, 1971]  
efficace et adaptée à des pas de temps de durée croissante

## Principe

$$\sigma(t) = \int_{u=-\infty}^t \left( k_0(u) + \sum_{i=1}^n k_i(u) e^{-\frac{t-u}{\tau_i}} \right) \dot{\varepsilon}(u) du$$

Hyp. :  $\dot{\varepsilon}(u)$  et  $k_i(u)$  constants sur chaque pas de temps

⇒ **comportement incrémental** : élastique linéaire avec précontrainte

$$\Delta\sigma = \textcolor{red}{k''} \Delta\varepsilon + \textcolor{red}{\sigma_p''} \quad \text{avec } \Delta\sigma = \sigma(t + \Delta t) - \sigma(t)$$

- raideur tangente  $\textcolor{red}{k''} \leftarrow k_i(t), k_i(t + \Delta t), \tau_i, \Delta t$
- précontrainte  $\textcolor{red}{\sigma_p''} \leftarrow \sigma_i^{\text{int}}(t), \tau_i, \Delta t$
- vars internes  $\sigma_i^{\text{int}}(t + \Delta t) \leftarrow \sigma_i^{\text{int}}(t), \Delta\varepsilon, k_i(t), k_i(t + \Delta t), \tau_i, \Delta t$   
 $\sigma_i^{\text{int}} \equiv$  contrainte dans la chaîne  $i$

# Méthode d'intégration : aperçu en 1D

Méthode proposée par Bažant pour la complaisance [Bažant, SMIRT, 1971]  
efficace et adaptée à des pas de temps de durée croissante

## Principe

$$\sigma(t) = \int_{u=-\infty}^t \left( k_0(u) + \sum_{i=1}^n k_i(u) e^{-\frac{t-u}{\tau_i}} \right) \dot{\varepsilon}(u) du$$

Hyp. :  $\dot{\varepsilon}(u)$  et  $k_i(u)$  constants sur chaque pas de temps

⇒ **comportement incrémental** : élastique linéaire avec précontrainte

$\Delta\sigma = k'' \Delta\varepsilon + \sigma_p''$  avec  $\Delta\sigma = \sigma(t + \Delta t) - \sigma(t)$

- raideur tangente  $k'' \leftarrow k_i(t), k_i(t + \Delta t), \tau_i, \Delta t$
- précontrainte  $\sigma_p'' \leftarrow \sigma_i^{int}(t), \tau_i, \Delta t$
- vars internes  $\sigma_i^{int}(t + \Delta t) \leftarrow \sigma_i^{int}(t), \Delta\varepsilon, k_i(t), k_i(t + \Delta t), \tau_i, \Delta t$   
 $\sigma_i^{int} \equiv$  contrainte dans la chaîne  $i$

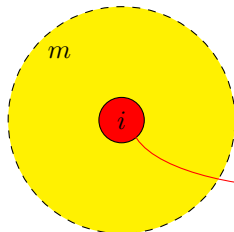
⇒ Il suffit de savoir traiter le comportement

**élastique linéaire à état initial non naturel**

# Implémentation MFront : aperçu ( $n = 1$ )

```
@Parser DefaultParser;
...
@ProvidesSymmetricTangentOperator;
@StateVariable StrainStensor sigint1; // internal variable
@StateVariable real tt; // time
@Integrator{
    ...
    // tangent modulus
    k_fict = k0_mid + lambda1sph*k1_mid;
    // eigenstress
    eigensig_fict_tr = - unmexp_taulsph * sigint1_tr;
    // use incremental elasticity
    dsig_tr = 3*k_fict * deto_tr + eigensig_fict_tr;
    // increment of internal variable
    dsigint1_tr = lambda1sph*3*k1_mid*deto_tr - unmexp_taulsph*sigint1_tr;
    ...
    // update internal variable
    dsigint1 = (dsigint1_tr/3.) * Stensor::Id() + dsigint1_dev;
    // update stress
    sig += (dsig_tr/3.) * Stensor::Id() + dsig_dev;
    // update time
    tt += dt;
    // tangent stiffness is known
    if(computeTangentOperator_){
        Dt = 3*k_fict*Stensor4::J() + 2*mu_fict*Stensor4::K();
    }
}
```

# Un cas test : l'inhomogénéité d'Eshelby

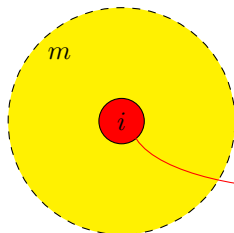


Inhomogénéité sphérique en milieu infini  
matériaux viscoélastiques linéaires vieillissants

$$\underline{\xi}(\underline{x}) = \mathbf{E}(t) \cdot \underline{x}, |\underline{x}| \rightarrow \infty$$

$\epsilon^i(t)$  uniforme dans l'inhomogénéité

# Un cas test : l'inhomogénéité d'Eshelby



Inhomogénéité sphérique en milieu infini  
matériaux viscoélastiques linéaires vieillissants

$$\underline{\xi}(\underline{x}) = \underline{E}(t) \cdot \underline{x}, |\underline{x}| \rightarrow \infty$$

$\epsilon^i(t)$  uniforme dans l'inhomogénéité

Tenseur de localisation :  $\mathbb{A}(t, u)$

$$\epsilon^i(t) = \int_{u=-\infty}^t \mathbb{A}(t, u) : \dot{\mathbf{E}}(u) du$$

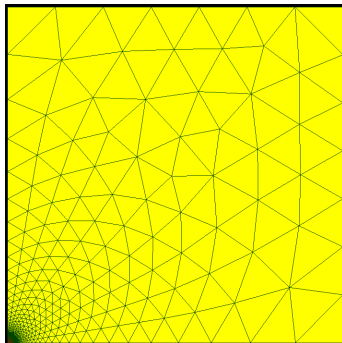
- forme sphérique + comportements isotropes

$$\mathbb{A}(t, u) = A_j(t, u)\mathbb{J} + A_k(t, u)\mathbb{K}$$

- chargement en échelon à  $t_0$

$$\mathbf{E}(u) = H(u - t_0)\mathbf{E}_0 \Rightarrow \epsilon^i(t) = \mathbb{A}(t, t_0) : \mathbf{E}_0$$

- cas test MFront + Code\_Aster  
calcul de la partie sphérique  $A_j(t, t_0)$





# Fonctions de relaxation élémentaires (MTest)

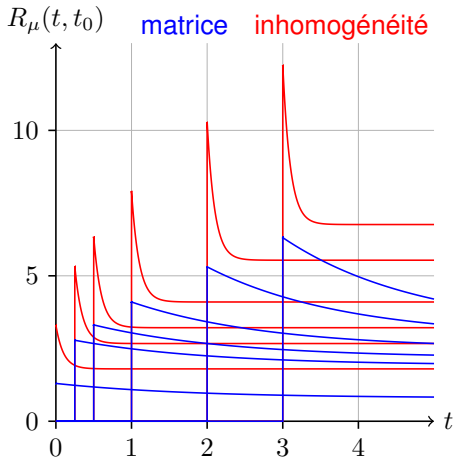
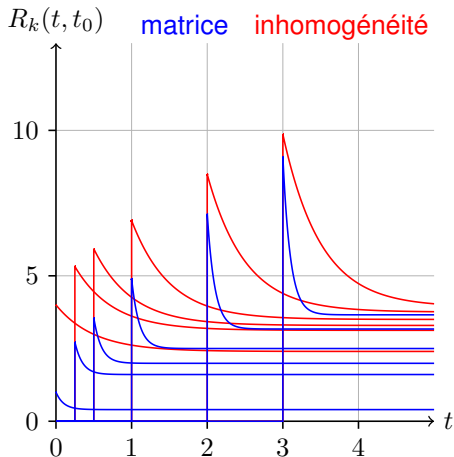
Même forme et  $n = 1$

$$R_k^i(t, u) = \left( k_0(u) + k_1(u) e^{-\frac{t-u}{\tau_1}} \right) H(t-u) \quad \text{avec} \quad k_j(u) = \alpha_j + \beta_j u^{\gamma_j}$$

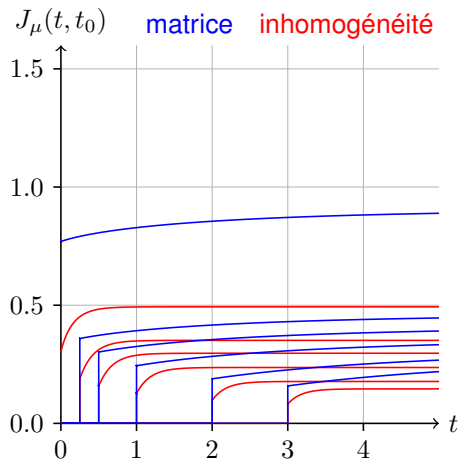
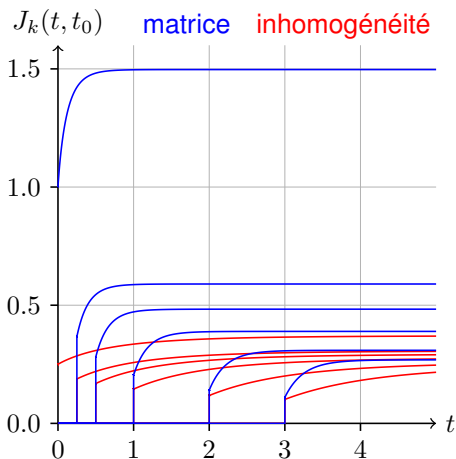
# Fonctions de relaxation élémentaires (MTest)

Même forme et  $n = 1$

$$R_k^i(t, u) = \left( k_0(u) + k_1(u) e^{-\frac{t-u}{\tau_1}} \right) H(t-u) \quad \text{avec} \quad k_j(u) = \alpha_j + \beta_j u^{\gamma_j}$$

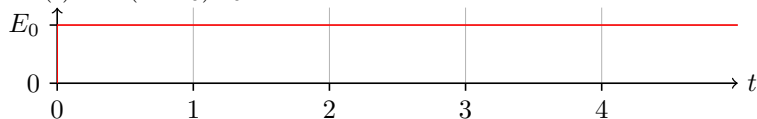


# Fonctions de complaisance élémentaires (MTest)

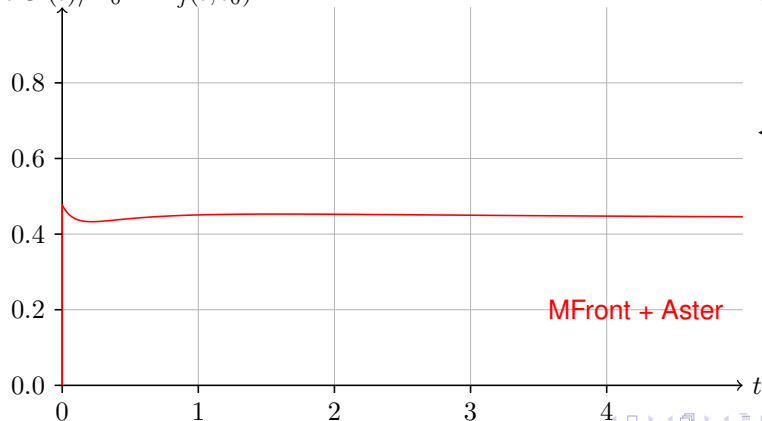


# Localisation isotrope déformation (Code\_Aster)

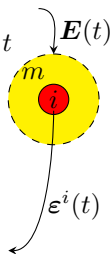
$$\text{tr} \mathbf{E}(t) = H(t - t_0) E_0$$



$$\text{tr} \boldsymbol{\varepsilon}^i(t) / E_0 = A_j(t, t_0)$$

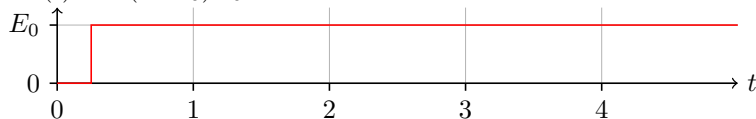


$$t_0 = 0$$

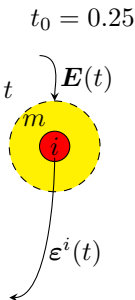
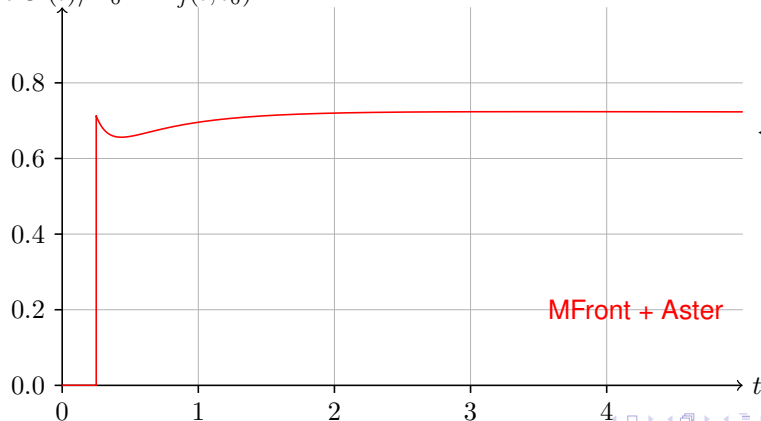


# Localisation isotrope déformation (Code\_Aster)

$$\text{tr} \mathbf{E}(t) = H(t - t_0) E_0$$

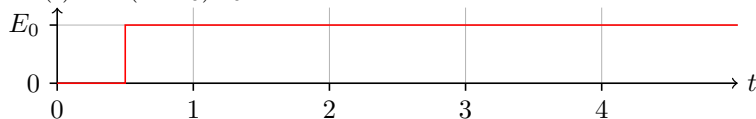


$$\text{tr} \boldsymbol{\varepsilon}^i(t) / E_0 = A_j(t, t_0)$$

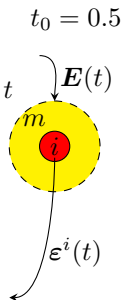
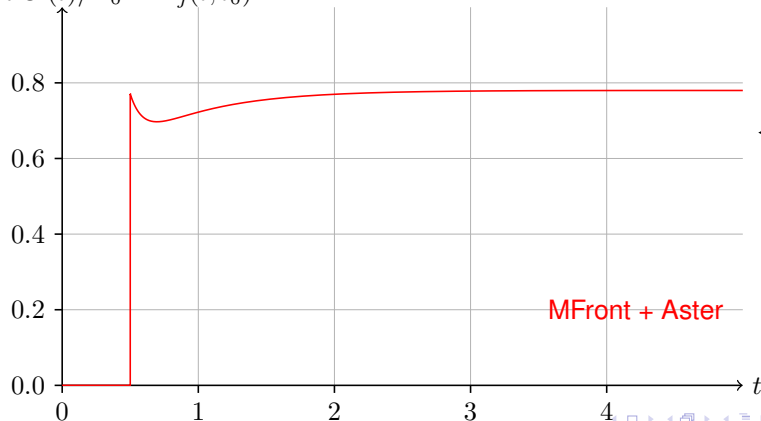


# Localisation isotrope déformation (Code\_Aster)

$$\text{tr} \mathbf{E}(t) = H(t - t_0) E_0$$

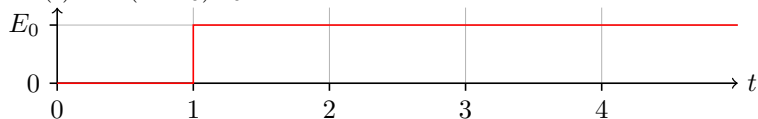


$$\text{tr} \epsilon^i(t) / E_0 = A_j(t, t_0)$$

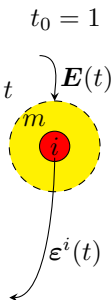
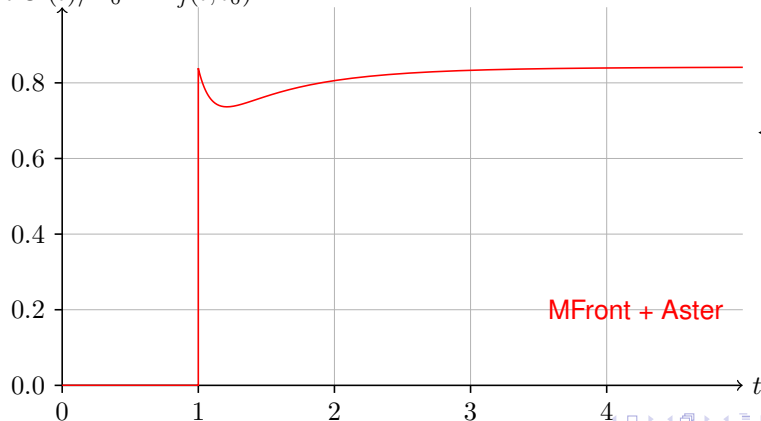


# Localisation isotrope déformation (Code\_Aster)

$$\text{tr} \mathbf{E}(t) = H(t - t_0) E_0$$

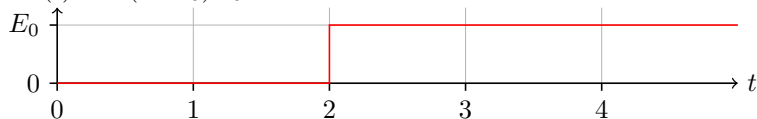


$$\text{tr} \boldsymbol{\varepsilon}^i(t) / E_0 = A_j(t, t_0)$$

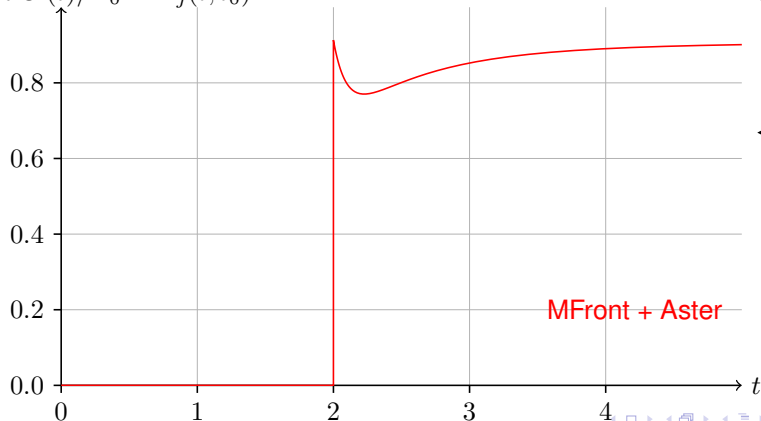


# Localisation isotrope déformation (Code\_Aster)

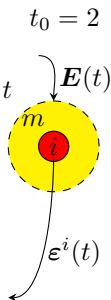
$$\text{tr} \mathbf{E}(t) = H(t - t_0) E_0$$



$$\text{tr} \epsilon^i(t) / E_0 = A_j(t, t_0)$$



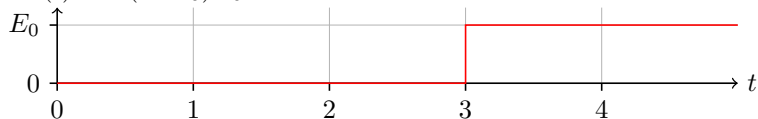
MFront + Aster



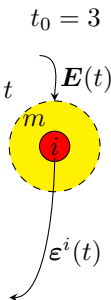
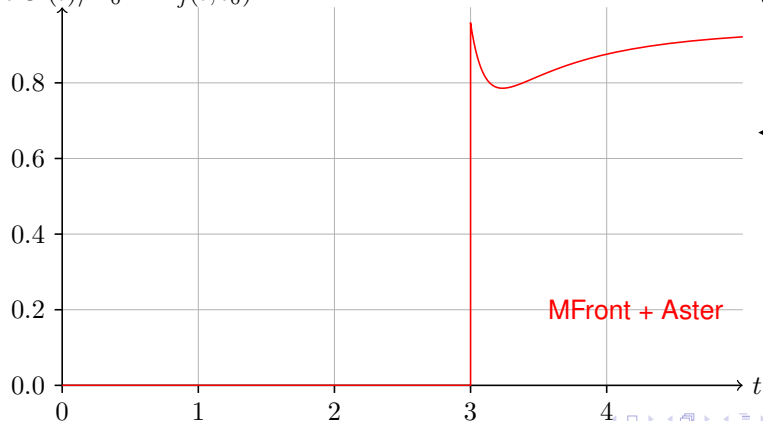


# Localisation isotrope déformation (Code\_Aster)

$$\text{tr} \mathbf{E}(t) = H(t - t_0) E_0$$

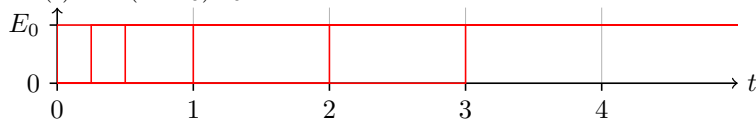


$$\text{tr} \epsilon^i(t) / E_0 = A_j(t, t_0)$$

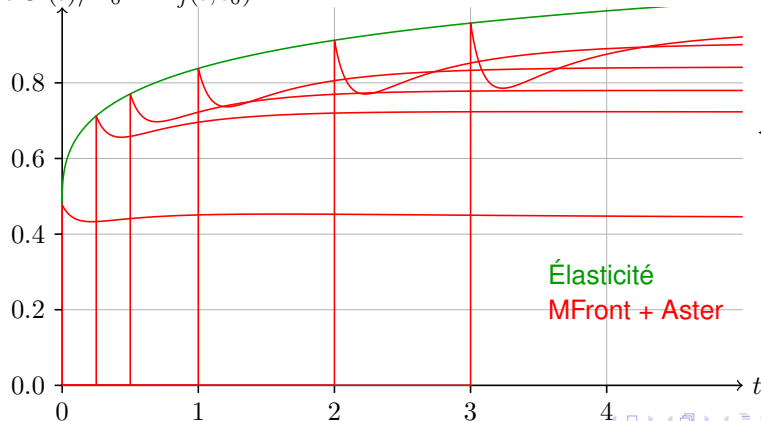


# Localisation isotrope déformation (Code\_Aster)

$$\text{tr} \mathbf{E}(t) = H(t - t_0) E_0$$

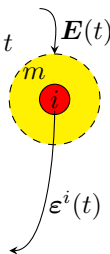


$$\text{tr} \boldsymbol{\varepsilon}^i(t) / E_0 = A_j(t, t_0)$$



Élasticité

MFront + Aster



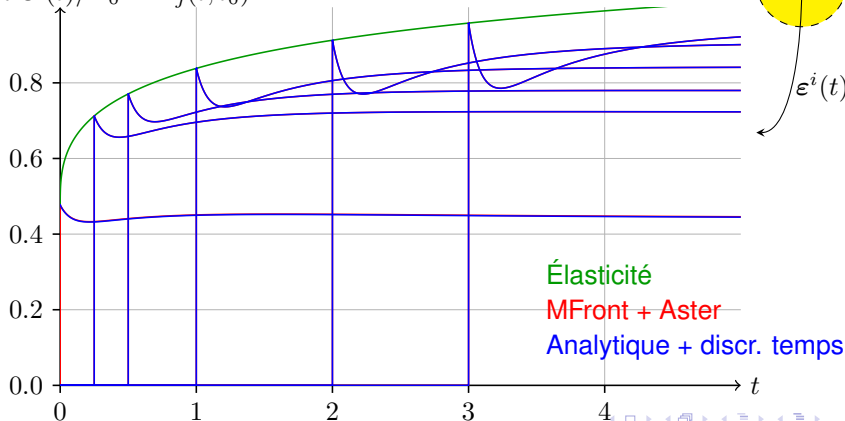
# Localisation isotrope déformation (Code\_Aster)

Solution analytique : équation intégrale de Volterra de 1<sup>re</sup> espèce

[Sanahuja, IJSS 50, 2013]

$$\int_{t'=-\infty}^t [3k_i + 4\mu_m](t, t') \frac{\partial A_j}{\partial t'}(t', t_0) dt' = [3k_m + 4\mu_m](t, t_0) E(t)$$

$$\text{tr} \epsilon^i(t) / E_0 = A_j(t, t_0)$$



## Avant

- détournement de  $V\_GRANGER\_FP$ , avec champs  $T$ ,  $h$  et fonction de désorption fictifs
- limites : formulation en complaisance seulement, isotrope, coefficient de Poisson constant, une seule fonction de vieillissement

## Avant

- détournement de  $V\_GRANGER\_FP$ , avec champs  $T$ ,  $h$  et fonction de désorption fictifs
- limites : formulation en complaisance seulement, isotrope, coefficient de Poisson constant, une seule fonction de vieillissement

## Après

- formulation en complaisance ou relaxation
- anisotropie
- une fonction de vieillissement par chaîne
- extension à d'autres modèles rhéologiques ou formulations

## Avant

- détournement de  $V\_GRANGER\_FP$ , avec champs  $T$ ,  $h$  et fonction de désorption fictifs
- limites : formulation en complaisance seulement, isotrope, coefficient de Poisson constant, une seule fonction de vieillissement

## Après

- formulation en complaisance ou relaxation
- anisotropie
- une fonction de vieillissement par chaîne
- extension à d'autres modèles rhéologiques ou formulations

## Perspectives

- estimation tenseur de relaxation par homogénéisation
- → identification paramètres de la loi MFront
- → utilisation en FEM

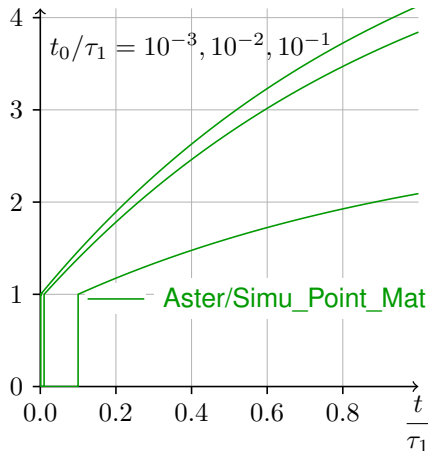
# Bonus: basé sur des faits réels...

Code\_Aster: loi GRANGER\_FP\_V

$$J(t, u) = \frac{1}{k_0} + f_a(u) \sum_{i=1}^n J_i \left( 1 - e^{-\frac{t-u}{\tau_i}} \right)$$

avec  $n = 1$ ,  $k_0 = 1$ ,  $J_1 = 5$ ,  $\tau_1 = 1$ ,  $f_a(u) = e^{-u/\tau_a}$ ,  $\tau_a = 0.1$

$J(t, t_0)k_0$

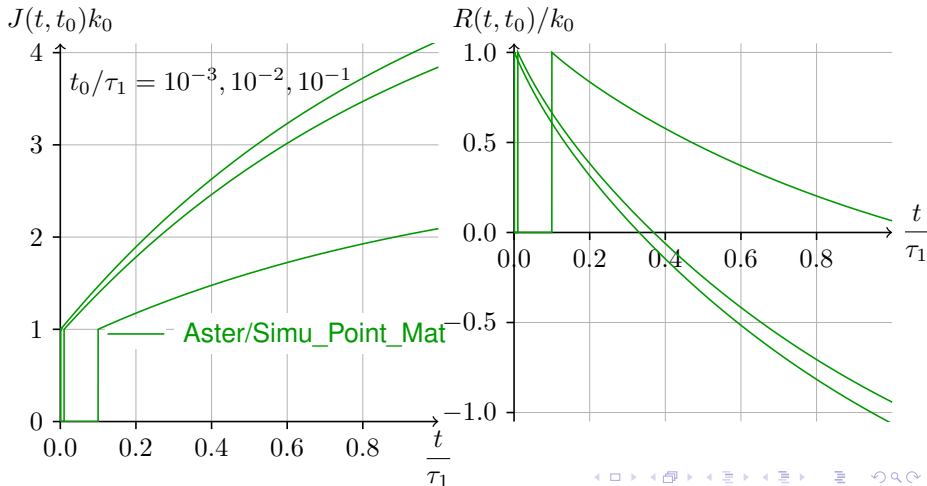


# Bonus: basé sur des faits réels...

Code\_Aster: loi GRANGER\_FP\_V

$$J(t, u) = \frac{1}{k_0} + f_a(u) \sum_{i=1}^n J_i \left(1 - e^{-\frac{t-u}{\tau_i}}\right)$$

avec  $n = 1$ ,  $k_0 = 1$ ,  $J_1 = 5$ ,  $\tau_1 = 1$ ,  $f_a(u) = e^{-u/\tau_a}$ ,  $\tau_a = 0.1$



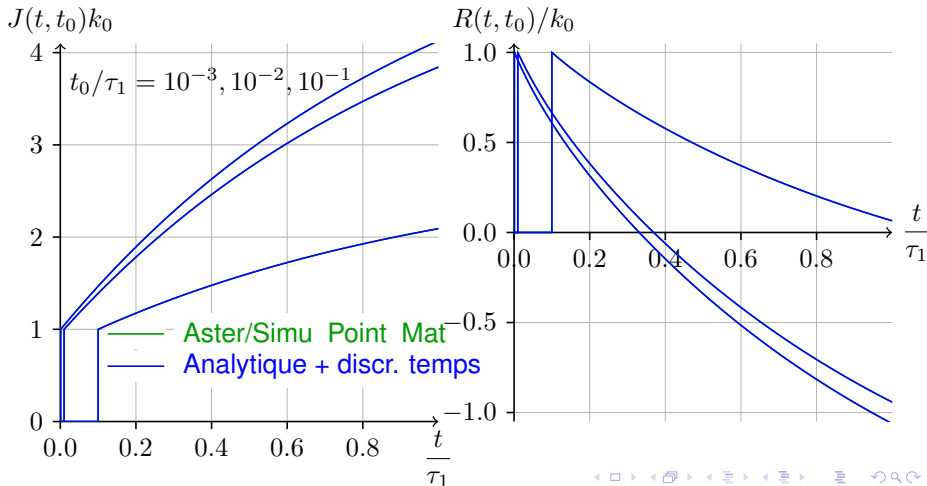


# Bonus: basé sur des faits réels...

Code\_Aster: loi GRANGER\_FP\_V

$$J(t, u) = \frac{1}{k_0} + f_a(u) \sum_{i=1}^n J_i \left(1 - e^{-\frac{t-u}{\tau_i}}\right)$$

avec  $n = 1$ ,  $k_0 = 1$ ,  $J_1 = 5$ ,  $\tau_1 = 1$ ,  $f_a(u) = e^{-u/\tau_a}$ ,  $\tau_a = 0.1$

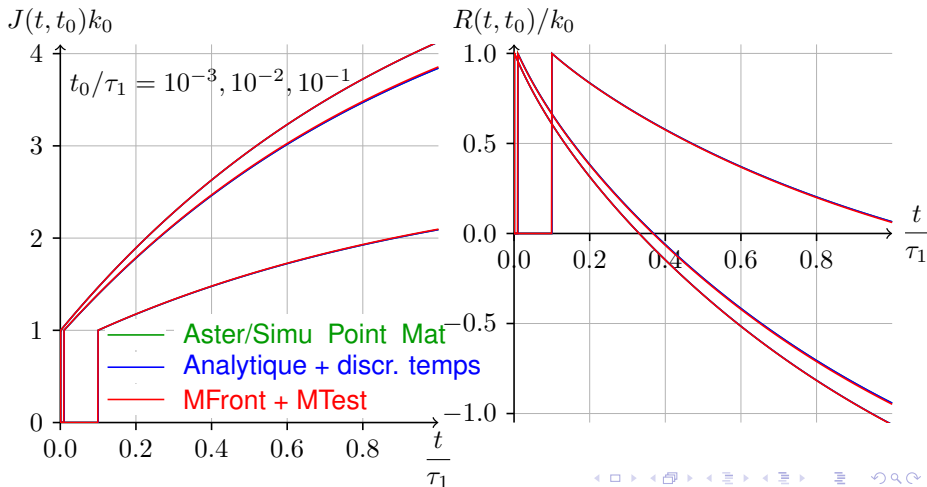


# Bonus: basé sur des faits réels...

Code\_Aster: loi GRANGER\_FP\_V

$$J(t, u) = \frac{1}{k_0} + f_a(u) \sum_{i=1}^n J_i \left(1 - e^{-\frac{t-u}{\tau_i}}\right)$$

avec  $n = 1$ ,  $k_0 = 1$ ,  $J_1 = 5$ ,  $\tau_1 = 1$ ,  $f_a(u) = e^{-u/\tau_a}$ ,  $\tau_a = 0.1$

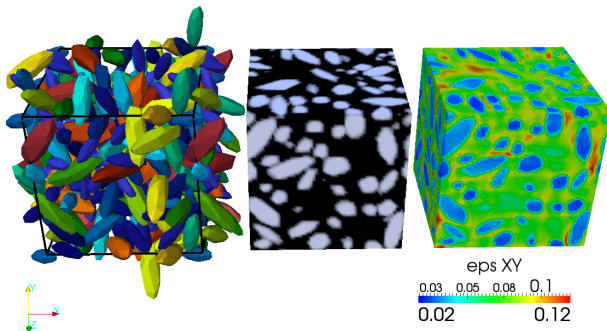




20-21 septembre 2017

Workshop: imagerie, transport, résistance,  
endommagement, fluage, retrait, ...

Session pratique sur outils logiciels



Résumés bienvenus !

[julien.sanahuja@edf.fr](mailto:julien.sanahuja@edf.fr), [contact@thema.org](mailto:contact@thema.org)